

長大吊橋基礎岩盤調査の1例（関門吊橋の場合）

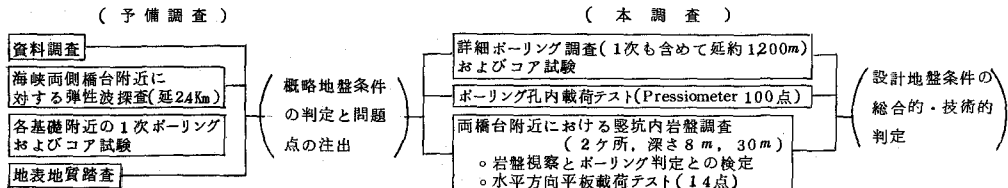
○ 建設省土木研究所 吉田 嶽
埼玉大学理工学部 吉中 竜之進
日本道路公団 大橋 昭光

1. まえがき

関門架橋は昭和の初期においてすでに吊橋としての計画があり設計作業も進められたが、軍からの要請で現在のトンネル案に変更になり、昭和33年トンネルの開通をみた。その後交通量が予想を上回って上昇し、47年度にはトンネルの交通容量を超えることが予想されるに至り、トンネルのバイパスとして吊橋が建設されることになった。吊橋はその中央支間長として712mの規模をもち、世界の10位以内にランクされる大橋梁である。以下、下部構造を設計するにあたって前提となる地盤調査内容を紹介する。

2. 岩盤調査方針

関門海峡附近の地盤概要は、かって国道トンネルの建設のために実施した調査・施工記録が残っているので、これに基づいて概略の地盤条件を推定し次の調査方針を設定した。



本調査の現地調査は主として原地盤の力学特性の量的把握に重点を置くこととし多数点のボーリング孔内荷重試験 (Pressiometer) を地盤強さのインデックスとして採用した。この方法は既に本四架橋調査等において軟質岩盤調査⁽¹⁾に取り入れ、その適用性が判明している。またボーリングコアと地山岩盤の対比を堅坑壁面でおこないコアによる地山判定の精度の検定をおこなうこととした。

3. 地質および岩盤性状

本地域の地質、および断層の解析は国道トンネル調査時に詳細に報告されている。地質構成は関門層群とよばれる中生層のホルンフェルス、門司側においてそれに貫入した花こう岩、および中生層と断層で接する安山岩質岩石が主要構成岩である。これらの岩石の試料による物理的力学的常数は、密度 2.7~2.9、超音波伝播速度 5.6~6.5km/s で岩石種による差異はないが、1軸圧縮強度は花こう岩とホルンフェルスが 500~1,400kg/cm²、安山岩質岩は 180~1,000kg/cm² でやや弱い。後者はその生成が碎屑流によると考えられる。

地表における弾性波探査の結果は下関橋台附近で表層数mが 0.3km/s、さらに深さ約 10m までが 1.0 km/s、以深が 4.7km/s であり、門司橋台附近では表層 5~6m が 0.3km/s、この下約 20m が 1.0km/s、以

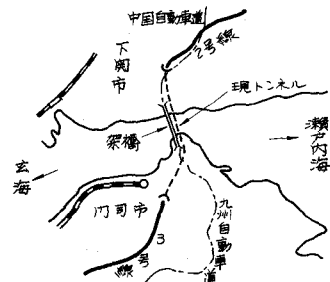


図-1

下が 4.7 km/s の各層に別れる。ボーリングによると 0.3 km/s 層は粘土～砂の残留風化土、以深はコア単体の強度および速度は前記特性値を有するものである。したがって両地点における地山 1.0 km/s 層はコア速度の 20% 程度に低下した、劣化度の著しい層であることが判り、以後の調査力点をこの層におくべきことを示す。

岩盤のキレツはボーリングコアによると両地点で図-2に示す状況となる。ここに E, F はキレツ平均間隔が 10 cm 以下で F は著しく粘土を伴うもの、C, D は同上の間隔が $10 \sim 30 \text{ cm}$ で D が粘土を伴なうもの、同様にして B は $30 \sim 90 \text{ cm}$ 、A は 90 cm 以上であると区別している。このようにすると本地域の岩盤は、F, E, C および B に主として大別することができ、各々は現地において粘土化破碎帶(F), キレツ破碎帶(E), キレツ帯(C) および新鮮部(B)と呼んでいるものに相当する。一般的には表層から深部へとこの順序に配列している。

4. 岩盤の変形および強度特性

本地点の岩盤は前述したように表層部 40 m 程度まではキレツが著しく発達している。予想される基礎は少なくとも $1,000 \text{ m}^2$ 近い規模になるので基礎として問題となる E, F および C 層は各層毎に一括して異方性のない粒状ないし塊状の地盤として処理するのが適当と考えられる。各基礎サイトで実施した約 100 点のプレシオメータ(Φ56)の測定結果を岩盤の E, F, C, B に区分してプレシオメータ変形係数 E_p の分布を求めるところ-3のごとくである。これにより各層の E_p はある種の確率分布の下にあるものとみられ、層別に E_p を何らかの代表値で表示しうることがうかがえる。プレシオメーター等で求めた変形係数は 2 次元放射応力下での均一弾性地盤として計算したものであるから基礎底面から地盤に作用する応力条件とは非常に異なるので、類似応力条件の平板による載荷試験から求まる変形係数との関連を明らかにする必要がある。表-1 は下関および門司の C～F に相当する岩盤中に各々深さ 9 m 、および 30 m の堅坑を掘削して平板による水平方向載荷試験を実施した結果である。図-4 は荷重-沈下量曲線の 1 例である。これらにより C 級の岩盤の変形係数 E_1 は $15,000 \sim 20,000 \text{ kg/cm}^2$ 、 $E_2 = 20,000 \sim 50,000 \text{ kg/cm}^2$ 、E, F 級のもので $E_1 = 3,000 \sim 7,000$ 程度であることが解る。

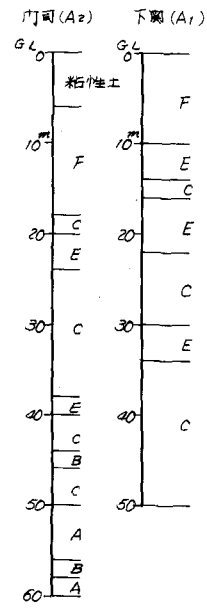


図-2 岩盤のキレツ

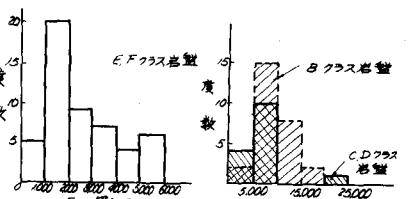


図-3 岩層区分別のプレシオメーター測定値ヒストグラム

図-4 荷重-沈下量曲線

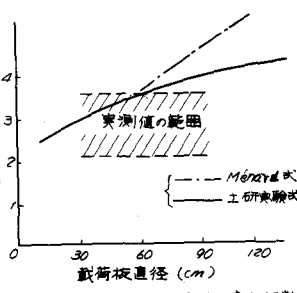
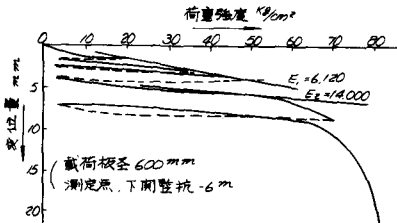


図-5 プレシオメーター測定値と変形係数

この値と図-3の E_p の最頻値で比較すると E_1/E_p は C 級の岩盤で $2 \sim 3$ 倍、E, F 級で $3 \sim 3.5$ 倍とみることができる。
 E/E_p の載荷幅による修正法については Ménard, 土研の提案がある。実測値との関係を図-5に示した。

表-1 堪坑内水平方向平板載荷試験結果

	地表から の深さ	岩盤性状記載	載荷板 寸法(φ)	変形係数 E_1 包らく, E_2 反復	破壊強度 11 kN/cm^2	キレツによる区分	
門司側橋台附近	15.7 m	褐色表土(ホルンフェルスの風化) 残留土	30 cm 60	$E_1 = 6.4 \text{ kN/cm}^2$ $E_2 = 52 \sim 77$	11 kN/cm^2		
	19.0	① 岩芯まで軟化した風化岩	60	$E_1 = 22.0$ $E_2 = 250 \sim 270$	19	F	
		② 岩芯は硬いがキレツから粘土化したもの	30	$E_1 = 7.600$ $E_2 = 8.000 \sim 10.000$	—	F	
		③に同じ	30	$E_2 = 6.00$	43	F	
		④に同じ	60	$E_2 = 820 \sim 1,500$	—	F	
	22.0	19.0 m の②と③の中間的なもの	60	$E_2 = 2,300 \sim 3,000$	46	F	
		岩芯が硬く、載荷面にキレツがない	30	$E_1 = 16,300$ $E_2 = 2,000$	—	C	
		岩芯まで風化が進んでいるが硬い部分もかなり含まれる(安山岩質岩石)	60 90	$E_1 = 1,300$ $E_2 = 6,300$ $E_1 = 4,900$ $E_2 = 13,300$	25	F	
	下門側橋台附近	3	① 芯心は硬く、キレツに多少粘土を含む	60	$E_1 = 6,000$ $E_2 = 8,000 \sim 15,000$	81	E
		3 m に同じ	90	$E_1 = 2,700$ $E_2 = 6,000 \sim 10,000$	—	F	
8	④に同じ	60	$E_1 = 10,000$ $E_2 = 22,000$	—	E		
	同上	90	$E_1 = 20,000$ $E_1 = 38,000 \sim 55,000$	—	E		

握しえているか極めて疑問であろう。写真1～5はボーリングコアと地山岩盤の対比を示したものである。

地山は下閑側のホルンフェルスでキレツからE～Fの岩盤とみなしうる。ボーリングは径65mmのメタルクラウンシングルコアチューブ無水掘りを原則とした。採取率はphoto-2～5の通りである。ボーリング地点は4m×11mの堪坑を狭む4点でおこなっている。なお堪坑の掘削はピックとツルハシによった。

コアから地山を如何に想定するかは担当者の経験にもとづく主観的判断にまつ外はないが如何ようにも想定しえよう。

原岩盤はphoto-1にみるようにキレツは多いが密実なものでありコアからこの状態を推定することは不可能に近い。したがってこの種の岩盤ボーリングではコア以外にも地山の性質を量的に把握できるボーリング孔内荷重試験などを併用して、これを

photo-2～5 4本の堪坑地点でのボーリングコア(5～10m)分を示す)

(5) 軟岩における両者の比は5～10

であること(載荷幅45cm), また硬岩における比較実験例の報告もある。

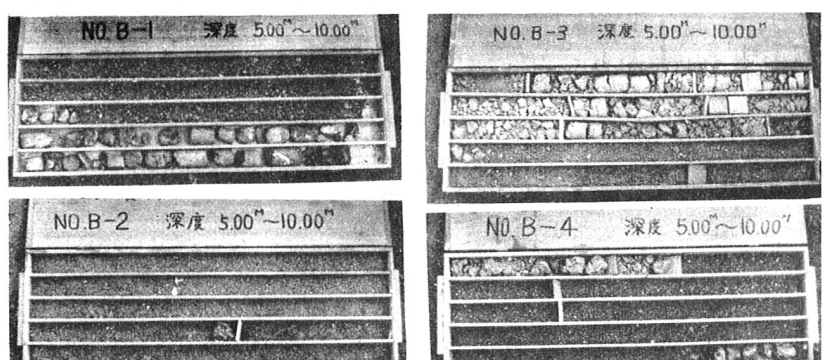
5. ボーリングコアと

地山岩盤

現状の岩盤調査ではボーリングコアによって地山の岩盤を判定する場合が多い。しかし風化が進みまたキレツの多い基礎岩盤(この種の岩盤は当然問題が多い), すなわちコア採取率が悪い岩盤においてはどの程度, 地山の性状を把



photo-1 堪坑壁面の岩盤(5～8m)



サウディングの一種として多数点に活用するのは有効であろう。

6. 設計に対する岩盤評価と基礎の設計

以上の調査結果を総合して、設計に用いる地盤の諸常数を定めた。そこには地盤を単純にモデル化する設計上の割り切り（技術的判断）が伴なうものであるが設計に必要な数値として変形係数（門司側橋台の例を図-6）と許容支持力および滑動に対する安定を検定するために用いるせん断常数を表-2の値に定めた。地盤の変形係数はプレシオメータおよび表-1の平板載荷重試験の結果から総合

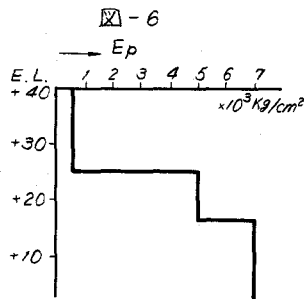


表-2

底面の位置 (m)	下関橋台	下関橋脚	門司橋脚	門司橋台
E.L. +20	-7	-23	+25	
有効根入れ深さ (m)	5.0	6.4	16.9	0
常時許容支持力 (t/m^2)	210	330	240	160
地震時 "	320	500	360	250
底面下の地盤の $C (t/m^2)$	6	13	10	10
底面下の地盤の ϕ°	30°	35°	30°	30°

的に定めており、せん断定数は各種試験の総合と類似岩盤のダムサイトの資料から判断した。

許容支持力は設計の便宜上定めたものである。このような地盤条件に施工環境を考慮し、門司側の海中施工になる橋脚のみニューマチックケーソン工法を採用し、その他はオープンドライ掘削による剛体基礎としている。

参考文献

- (1) 吉田巖, 吉中竜之進(1966); 明石層および神戸層の工学的性質について
土木研究所報告, 第129号
- (2) 土木学会(1960); 関門トンネル工事誌
- (3) L.Menard; Régles pour le calcul de la foundations en fonction des résultants Pressiométriques, Proc. 6th IC, SMFE
- (4) 吉中竜之進(1967); 地盤反力係数と、その載荷幅による補正,
土木研究所資料 第299号
- (5) 室町忠彦, 他2名(1967); 泥沼の原位置試験に関する現地比較実験,
第2回 岩の力学国内シンポジウム, 土木学会他
- (6) 本四連絡橋技術調査委員会(1967); 本州四国連絡橋技術調査報告書, 土木学会

The Investigation into Foundation Rocks of Kanmon Suspension Bridge

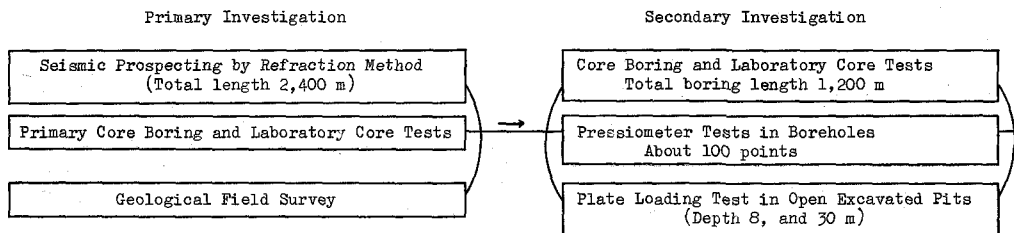
Iwao Yoshida
 Public Works Research Institute
 Ministry of Construction, Japan
 Ryunoshin Yoshinaka
 Saitama University
 Akimatsu Hashi
 Japan Highway Public Corporation

Abstract

Kanmon suspension bridge under construction is the long suspension bridge, main span length 712 m, acrossing over the Kanmon strait between Honshu and Kyushu.

This paper deals with result of foundation geotechnological research.

Adapted process and methods for investigation can conceptionally be shown as the following diagram.



The ground of this area is composed of granite, hornfels derived from mesozoic sedimentary rocks and andesitic rock. By means of above researches, Table 1 - 3 can be obtained.

Table 1. Core Properties

	Granite Hornfels	Andesite
Unit Weight	2.7-2.9	2.7-2.9
Supersonic Propergation Velocity	5.6-6.5 km/s	5.6-6.5
Unconfined Comp. Strength	500 - 1,400 kg/cm ²	180 - 1,000

Table 2. Wave Velocity

Rock Class.	Wave Velocity	Thickness
Residual Soil	0.3 km/s	2 - 6 m
Heavily Cracked and Sheared Zone (E - F)	1.0	10 - 20
Cracked(fresh) Zone (C - B)	4.5 - 4.7	> 20

Table 3. Static Deformation Modulus

Rock Class.	Pressio- meter(Ep)	Plate(Φ30-90 cm) Loading(E ₁)
E - F	1,000 - 2,000 kg/cm ²	3,000 - 7,000 kg/cm ²
C	5,000 - 10,000	15,000 - 20,000
B	10,000±	>20,000

Accordingly, foundation constants for substructure design have synthetically been juged from view point of engineering practice, and Table 4 shows these constants.

Table 4. Foundation Constants

Site	Shimonoseki		Moji	
	Anchorage	Main Pier	Anchorage	Main Pier
Effective Depth in Meter	5.0 m	6.4	0.0 m	16.9
Allowable Bearing Capacity	210 t/m ² During Earthquake	330 500	160 t/m ² 250 t/m ²	240 360
Shear Constants	C Ø	6 t/m ² 30 (°)	10 t/m ² 33 (°)	10 30
Estimated Vertical Deformation Modulus	1.32x10 ⁵ t/m ²	1.22x10 ⁵	3.2x10 ⁵ t/m ²	1.2x10 ⁵